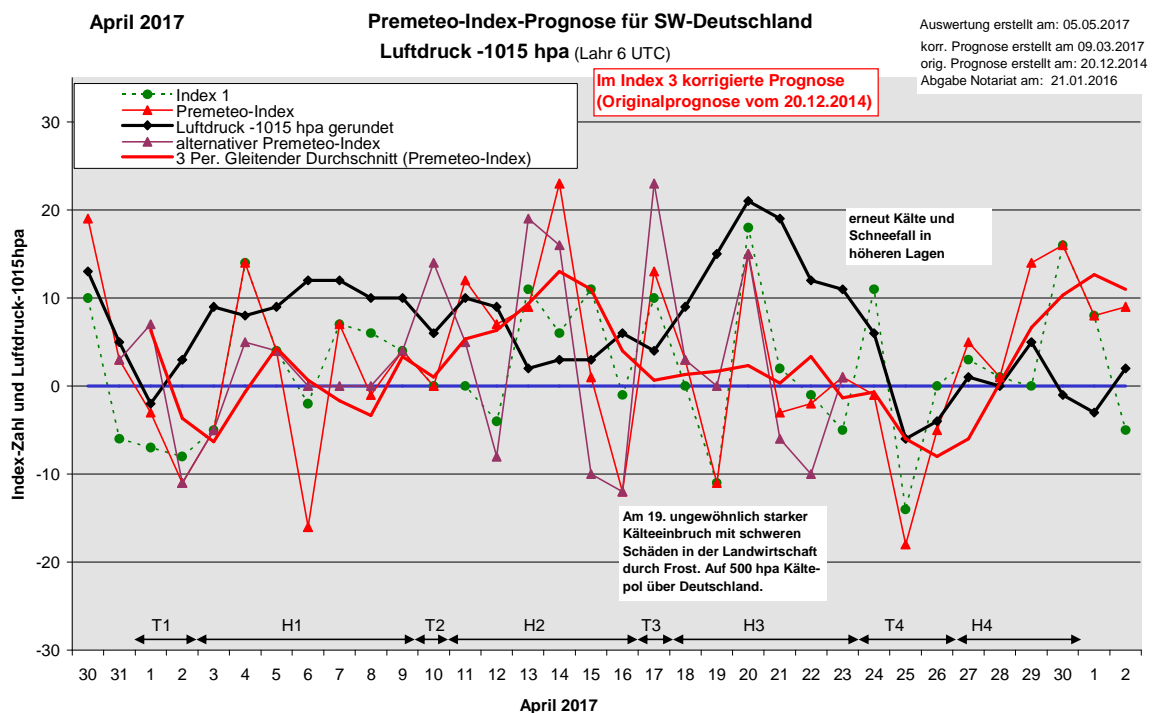
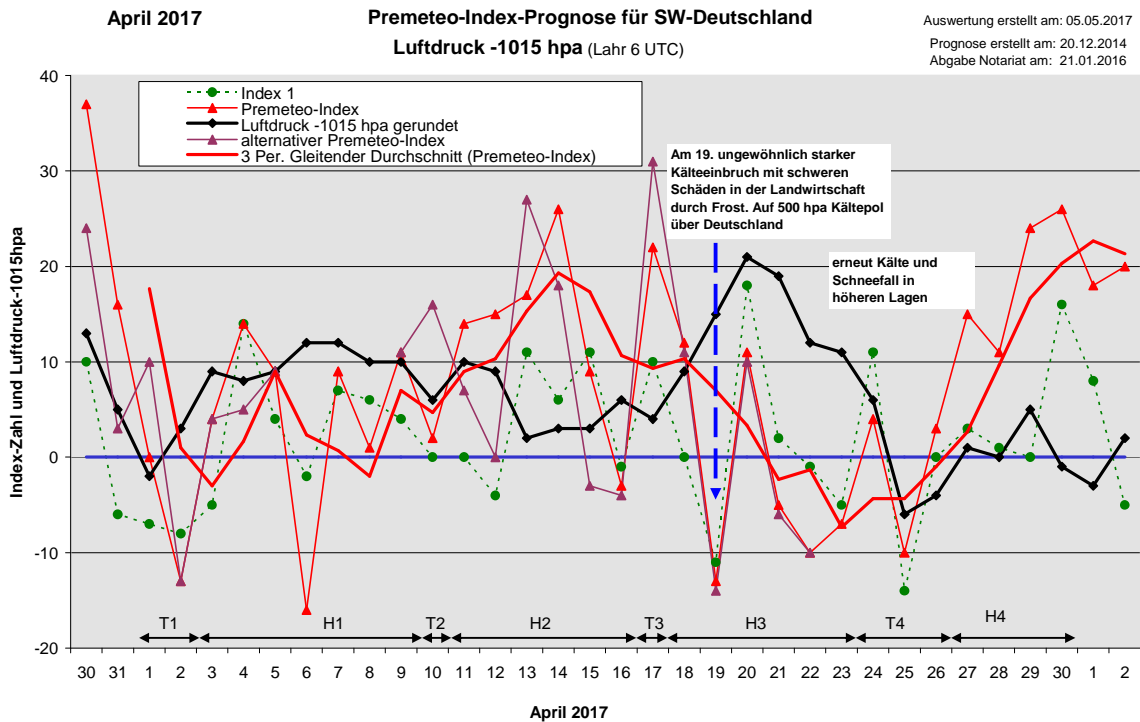


Wetterlagenverlauf April 2017 im Vergleich zur Premeteo-Indexprognose für Südwest-Deutschland

(Im Diagramm sind über der Datumsachse die real eingetreten Hoch- und Tiefdruckphasen durch Doppelpfeile eingetragen. Ausschlaggebend für die Evaluation ist der tägliche Premeteo-Index, in der dünneren, roten Linie mit Dreieckspunkten dargestellt. Ein negativer Premeteo-Index zeigt die Wahrscheinlichkeit für eine zyklonale Tiefdruckströmung, ein positiver Premeteo-Index die Wahrscheinlichkeit für eine antizyklonale Hochdruckströmung an.

Die Wetterlagenbeschreibungen wurden anhand der Berliner Wetterkarten erstellt. Ausschlaggebend ist die Europa-Bodenkarte um 0 UTC, die feiner skalierte 12 UTC-Karte von Mitteleuropa wird nur bei einem Wetterlagenwechsel für die Einordnung des Tages hinzugezogen. Am Ende des Dokuments befinden sich die Tabellen und Konstellationen, die dem Diagramm zugrunde liegen.)



Zusammenfassung: Der reale Verlauf der Wetterlagen des April 2017 zeigte vor allem mit der im Index 3 korrigierten Prognose eine gute Übereinstimmung. Nur fünf Tage waren bezüglich der Hoch- und Tiefdruckströmung falsch bestimmt, bei der unkorrigierten Version waren es acht Tage. Auch bei der Symbolprognose gab es nur drei falsche Tage, während die unkorrigierte Version 5 Fehlprognosetage aufwies. Die Anzahl der für die Symbolprognose nur tendenziell richtig bestimmten Tage war wie bei Januar bis März 2017 in der korrigierten Variante gegenüber der unkorrigierten Originalprognose erhöht. Der Monat zeichnete sich vor allem durch den starken Kälteeinbruch vom 19. zum 20. April und den nachfolgenden, kalten Tagen aus, an denen es in den höheren Lagen lokal zu kräftigem Schneefall kam.

Der wärmste Tag des Monats war der 10. mit einer Tagesmitteltemperatur von 16,4°C in Lahr mit Mars 0° Ceres. Der kälteste Tag war der 19. mit einer Tagesmitteltemperatur von 3,8°C in Lahr bei Ceres 0° Sedna.

Der höchste Luftdruck von 1036,1 hpa (Lahr 6 UTC) wurde am 20. erreicht mit Orcus 90° Apogäum Hf*. Der tiefste Luftdruck von 1008,9 hpa (Lahr 6 UTC) trat am 25. ein, als auch der korrigierte Premeteo-Index sein Monatsminimum von -18 erreichte. Dies vollzog sich bei Vesta 150° Saturn T*, Makemake 0° GSZ ?* und Mars 120° GSZ T. In beiden Fällen sind das die Tage, an denen auch der Index 1 (grüne, gestrichelte Linie im Diagramm) sein Monatsmaximum bzw. -minimum erreichte.

Beschreibung der einzelnen Wetterphasen:

Tiefdruckphase 1: Der April begann entsprechend dem korrigierten Premeteo-Index mit einer Tiefdruckwetterlage durch Tief Johnny über dem südlichen Nordmeer. In der Nacht zum 2. April fiel etwas Niederschlag, doch hatte sich die Zyklonalität schon stark abgeschwächt. Unsere Region lag im südwestlichen Randbereich eines flachen Tiefs mit Kern über Ostdeutschland, und ein weiteres Tief lag über Korsika. Das Hoch über dem Ostatlantik dehnte sich im Laufe des Vormittags über Frankreich aus, und um 12 UTC befand sich Südwestdeutschland genau in der Übergangszone zwischen diesem Hoch und der Tiefdruckrinne eines Tiefs mit Kern über dem nördlichen Polen. Der Tag wurde noch als überwiegend zyklonal eingestuft, ist aber ein Grenzfall. Das Luftdruckminimum dieser zweitägigen Tiefdruckphase war gegenüber dem Premeteo-Index einen Tag zu früh eingetreten. Der Premeteo-Index summierte über die 2-tägige Tiefdruckphase auf -13 / korr. -14.

Hochdruckphase 1: Am 3. April hatte sich Hoch Nessa über Nordwestfrankreich gebildet und erreichte mit seinem Kern am 4. schon das Gebiet der südlichen Ostsee. Um 0 UTC lag unsere Region vorübergehend im flachen Randbereich eines Tiefs über Süditalien, aber die Mittagskarte zeigte bereits den Übergang in das Isobarenfeld von Hoch Ortrud über dem Ostatlantik, das auch am 5. für die Wetterlage verantwortlich blieb. Am 6. lag sein Kern bei Irland. Der Premeteo-Index hatte an diesem Tag einen einzelnen negativen Wert von -16, der hauptsächlich durch die Symmetrie Quaoar 72° Jupiter Neptun T* T?* vom Vortag 17 UTC bedingt war. Am 5. zeigte sich interessanterweise auf 500 hpa eine konzentrierte Tiefdruckzelle über dem Südwestdeutschen Raum, die sich zum 6. hin aber schon wieder aufgelöst hatte. (Siehe Berliner Wetterkarte am Ende dieses Textes) In der Nacht zum 7. kühlte es stark ab und der Kern von Hoch Ortrud verharrte bei Irland, bewegte sich im Laufe des Tages nach Osten und erreichte um 0 UTC am 9. Tschechien. So war die erste Dekade des Aprils sehr sonnig und sehr trocken. Der Premeteo-Index summierte über die 9-tägige Hochdruckphase auf +32/ korr. +7.

Tiefdruckphase 2: Am 10. dehnte sich Tief Marcel über dem Nordmeer im Laufe des Tages flach bis über unsere Region aus. Der Premeteo-Index hatte einen Wert von +2 / korr. 0

Hochdruckphase 2: Hoch Pia über dem Ostatlantik übernahm am 11. die Regie. Am 12. bildete es zwei Kerne aus. Einer verblieb über dem Ostatlantik und ein zweiter Kern lag über Österreich und wanderte am 13. zum Balkan. Auch am 14. und 15. lag die Region noch immer im Isobarenbereich von Hoch Pia mit seinem Kern über dem Balkan, allerdings hatte die Bewölkung nun stark zugenommen und es kam nur noch gelegentlich zu

Auflockerungen. Am 15. traten lokal Schauer auf. Trotz durchgehend starker und dichter Bewölkung verblieb Südwestdeutschland auch am 16. bei sinkenden Temperaturen im Isobarenbereich von Hoch Pia über dem Ostatlantik. Der Premeteo-Index summierte über die 6-tägige Hochdruckphase auf +78 / korr. +40.

Tiefdruckphase 3: Während sich auf 500 hpa ein mächtiger Tiefdrucktrog ausgebildet hatte, wurde die Bodenatmosphäre am 17. nur flach von dem kleinen Tief Peter über der Nordsee ergriffen. Gegenüber dem Premeteo-Index, der am Vortag bei -3 / korr. -12 lag, geschah dies um einen Tag verspätet,. Es kam teilweise zu kräftigen Schauern, in hohen Lagen des Schwarzwaldes auch als Schnee, wobei die Region auf 500 hpa unter einer kalten Nordströmung lag. Der Premeteo-Index hatte einen Wert von +22 / korr. +13.

Hochdruckphase 3: Am 18. hatte der Isobarenbereich von Hoch Pia mit Kern südwestlich von Irland in der Bodenatmosphäre Südwestdeutschland bereits erreicht, während auf 500 hpa eine zyklonale Nordostströmung sehr kalte Luftmassen heranzuführte und die Temperaturen kräftig absinken ließ. Auch am 19., bei einem Premeteo-Index von -13 / korr. -11, lag die Region auf 500 hpa unter der Nordströmung des mächtigen Höhentiefs über Europa, dessen Kältezentrum über Deutschland lag. Die Bodenatmosphäre kühlte weiter ab, der Luftdruck stieg kräftig an und in der Nacht zum 20. gab es selbst bis in die Tallagen des Oberrheingebiets Frost. Der negative Index des 19. April war hauptsächlich durch die exakte Konjunktion Ceres 0° Sedna T* verursacht. Es war ein einzelner negativer Tag. Am 20. vollzog der Premeteo-Index wieder eine steile Spitze in den positiven Bereich mit Pallas 120° Apogäum H* und Orcus 90° Apogäum Hf*. Der starke Kälteeinbruch unter den Gefrierpunkt verursachte große Schäden in der Landwirtschaft. Der frisch ausgetriebene Wein, die Kirsch- und Apfelblüten wurden in ungewöhnlich großem Ausmaß zerstört. Über der Nordsee hatte sich inzwischen Hoch Querida ausgebildet und verlagerte zum 20. seinen Kern nach Norddeutschland. Der Luftdruck erreichte sein Maximum, aber bei leichtem Druckfall bestimmte Hoch Querida am 21. und 22. weiterhin die Wetterlage mit einem Kern bei Irland und einem Kern über dem südlichen Deutschland. Der Premeteo-Index verlief nun im schwach negativen Bereich und am 22. war es dicht bewölkt. Am 23., als der im Index 3 korrigierte Premeteo-Index noch einmal flach über die Nulllinie kletterte, gab es den letzten antizyklonalen Tag dieser Phase. Der Premeteo-Index summierte über die 6-tägige Hochdruckphase auf -12 / korr. +3.

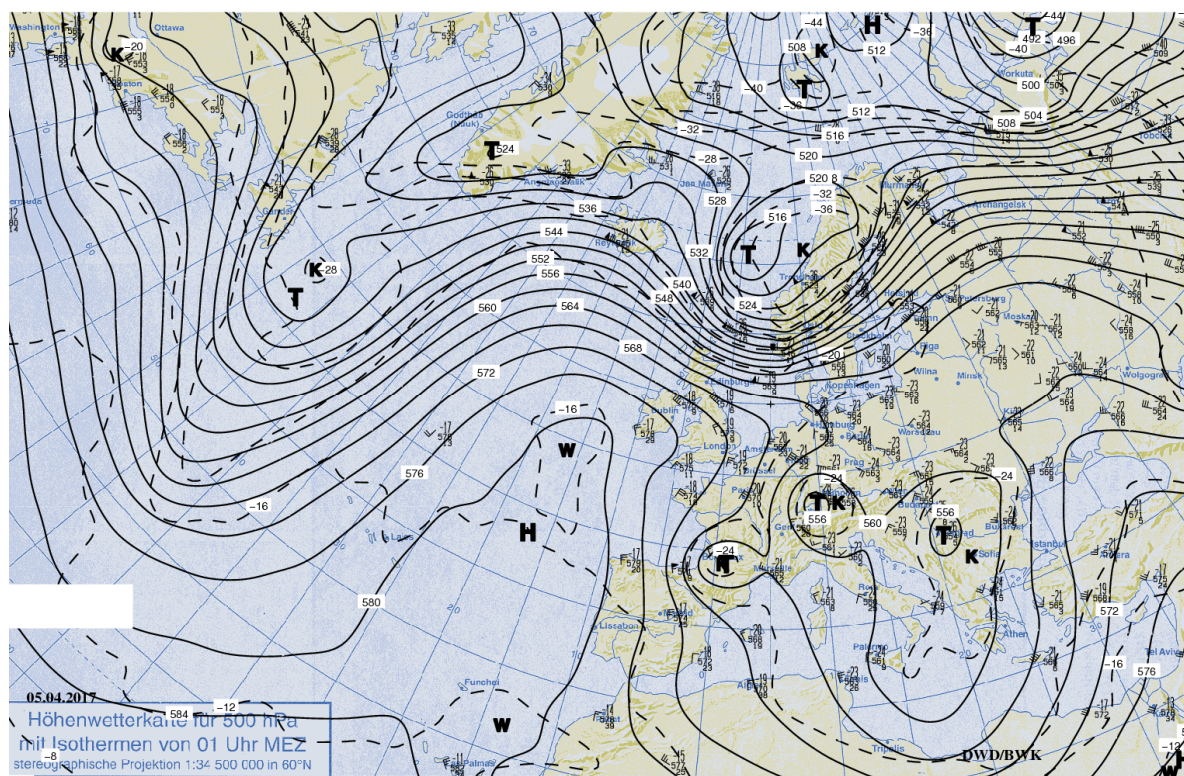
Tiefdruckphase 4: Um 0 UTC befand sich am 24. noch eine Hochdruckbrücke über Deutschland, doch bis Mittag setzte sich flach die zyklonale Strömung von Tief Reiner über der Nordsee durch, die sich durch den Aufzug von malerischen Cirrusfeldern und einer deutlich spürbaren Erwärmung der Atmosphäre am Nachmittag bemerkbar machte. Tief Reiner, am 25. mit Kern über Südschweden, brachte der südwestdeutschen Region endlich den Niederschlag, den die trockenen Felder so nötig brauchten. Auch am 26. bestimmte es noch die Wetterlage, die den Höhenlagen des Schwarzwaldes und der Schwäbischen Alb erneut Schnee bescherte. Der im Index 3 korrigierte Premeteo-Index stimmte mit dieser Tiefdruckphase etwas besser überein als der unkorrigierte, aber in beiden Diagrammen ist die Übereinstimmung der Minima von Luftdruck und Premeteo-Index am 25. sehr schön zu sehen. Der Premeteo-Index summierte über die 3-tägige Tiefdruckphase auf -3 / korr. -23.

Hochdruckphase 4: Am 27. und 28. reichte Hoch Rosalie mit Kern über dem Ostatlantik gerade bis an Südwestdeutschland heran. Auch hier ist in den Diagrammen deutlich zu sehen, dass der im Index 3 korrigierte Premeteo-Index besser mit dem realen Wettergeschehen übereinstimmte, als der unkorrigierte. Hoch Rosalie dehnte sich noch nicht nach Osten aus und auch der korrigierte Premeteo-Index bewegte sich noch im flach positiven Bereich nahe der Nulllinie. Auf 500 hpa lag der Kältepol an diesen beiden Tagen mit -36° und -32°C über Frankreich und verursachte auch hier starke Schäden in der Landwirtschaft. Am 29. stieg der Luftdruck etwas an und die Bewölkung lockerte auf. Der 30. war ein durchgehend sonniger Sonntag mit noch auffallend kalter Luft am Morgen, doch kräftigem Druckfall. Die Berliner Bodenwetterkarte zeigte um 0 UTC, dass die 1015er Isobare, die zu Tief Utz mit Kern bei Irland gehörte, unmittelbar westlich des Oberrheins verlief. In der feiner skalierten 12 UTC Karte wurde jedoch sichtbar, dass unsere Region bis Mittag noch nicht von seinem Isobarenbereich und seinen Luftmassen erfasst war. Daher

wurde auch dieser Tag noch als antizyklonal durch Hoch Sonja mit Kern über Nordostdeutschland eingestuft. Die 4-tägige Hochdruckphase summierte auf +76 / korr. +36. SW-D befand sich an 23 Tagen im Einflussbereich antizyklonaler Strömung. Die Summe des prognostizierten Premeteo-Index für diese Tage ergab +174 / korr.86. Dies entsprach einer Indexzahl von +7,57 / korr. +3,74 pro Tag.

An 7 Tagen befand sich SW-D im Einflussbereich zyklonaler Strömung. Die Summe des prognostizierten Premeteo-Index für diese Tage ergab +8 / korr. -25. Dies entsprach einer Indexzahl von +1,14 / korr. -3,57 pro Tag.

Die Prognose durch die Premeteo-Wettersymbole war an 5 / korr. 3 Tagen falsch (am 13., 14., 17., 18., 27. – korrigierter Index: am 13., 14., 17.), an 11 / korr. 10 Tagen richtig und an 14 / korr. 17 Tagen tendenziell richtig.



Quelle: Berliner Höhenwetterkarte vom 05.04.2017

05.05.2017
April 2017
01.04.2017



Prognose für SW-Deutschland

Den ganzen Monat ist Makemake 0° Supergalaktisches Zentrum aktiviert. Uranus 0° Eris bleibt bis zum 8. aktiviert und löst die unbekannteren Aspekte Orcus 135° Eris ?° und Eris 180° Haumea ?° aus. Den ganzen Monat bleibt auch die Konjunktion von Saturn mit dem Galaktischen Zentrum erhalten.
 12. bis 17. sehr dichte Positionierung von Mars, Ceres und Sedna, und 12. bis 16. sehr dichte Positionierung von Sonne, Eris, Uranus. 25. bis 30. sehr dichte Positionierung von Merkur, Uranus und Eris.
 Am 24. wird die Konjunktion zwischen Makemake und dem Supergalaktischen Zentrum (?) exakt, am 30. Eris 180° Haumea ?°.

Langsamläufer-Impulse	T*		T*, H?*	T*	T*		H*			
Schnellläufer-Impulse	3T	T	Hf, H		2H		2H	H		T
Temperaturimpulse	K		W*				W	W	W	
Premeteo-Index - zyklonal, + antizyklonal (Index 1+2+3)	0	-13	4	14	9	-16	9	1	11	2
Pre.IX (ALTERNATIV)	10			5						16
Index 1 (12 - 12 UTC) exakte Aspekte des Tages	-7	-8	-5	14	4	-2	7	6	4	0
Index 1(ALTERNATIV)	3			5						
Symmetrien (0 - 0 UTC)	Jup 144 Nep Sed (08) A* W* A* T?(0,5/2) ---	Ura 23 Mar Pal (03) Hf --- Mar 136 Qua GSZ (04) T A ? -7 Mar 136 Qua Mak (11) T H ? ? ?	Eri 9 Son Mer (09) H H +7? Jup 5op Son Ura (10) H W H*(13/5) +7?	Jup 4op Son Eri (00) H W A*(5/5) +7? Ura 9 Son Mer (08) H K A +7?	Ven 3 Chi Pal (05) Tst A --- Qua 72 Jup Nep (17) T* T* A* W* -14	Cer 68 Nep Var (05) H* (11/3,5) ---	Ves 90 Eri Hau (16) T* A* ? -7	Mar 68 Nep Var (02) H*(11/3,5) --- Son 36 Nep Sed (22) T?(0,5/2) ---	Nep 72 Qua Sed (18) T?(0,2) T?(0,5/2) H?(6,5/2) -14/0	Ves 90 Ura Hau (05) T* A* H?(5,1,5) (-7) Son 3op Jup Hau (13) H W H +14
Index 2 (12 - 12 UTC)	0	-7	0	0	0	-14	0	-7	0	0
Index 2 ALTERNATIV										14
ausgelöste LL-Aspekte	Cer 135 Mak H +5 Mar 45 Pal H4 Pal 150 Kn1 T-5 Pal 30 Kn2 T-5 Ves 90 Eri T-5 Kn1 30 GSZ H13 (Kn2 150 GSZ H13) Orc 135 Eri ? Hau 180 Eri ?	Mar 45 Pal H4 Pal 150 Kn1 T-5 Pal 30 Kn2 T-5 Ves 90 Eri T-5 Kn1 30 GSZ H13 (Kn2 150 GSZ H13) Orc 135 Eri ? Hau 180 Eri ?	Mer 150 Mak H +1 Ves 90 Eri T-5 Kn1 30 GSZ H13 (Kn2 150 GSZ H13) Orc 135 Eri ? Hau 180 Eri ?	Mer 150 Mak H +1 Ves 90 Eri T-5 Kn1 30 GSZ H13 (Kn2 150 GSZ H13) Orc 135 Eri ? Hau 180 Eri ?	Mer 150 Mak H +1 Mar 135 Mak H +4 Ves 90 Eri T-5 Orc 135 Eri ? Hau 180 Eri ?	Cer 144 GaZ H5 Ves 90 Eri T-5 Orc 135 Eri ? Hau 180 Eri ?	Ven 90 Sat H +2 Cer 144 GaZ H5 Ves 90 Eri T-5 Orc 135 Eri ? Hau 180 Eri ?	Ven 90 Sat H +2 Cer 144 GaZ H5 Ves 90 Eri T-5 Orc 135 Eri ? Hau 180 Eri ?	Ven 90 Sat H +2 Cer 144 GaZ H5	Ven 90 Sat H +2
Index 3 (Summe)	7	2	9	0	5	0	2	2	7	2
Index 3 ALTERNATIV										
Symbol-Prognose	3	3	3	2	3	3	3	3	2	3
Symbol-Prognose altern.	2	3	3	3	3	3	3	3	2	2
Wochentag	Sa	So	Mo	Di	Mi	Do	Fr	Sa	So	Mo
Datum	1	2	3	4	5	6	7	8	9	10
reale Wetterlage	T1: T*, 4T / -13		H1: 2H*, Hf, 6H - 3T* / +32							T2: T / +2
Luftdruck (hpa) 06 UTC	1013,1	1018,4	1024,4	1023,1	1023,8	1026,5	1026,9	1025,4	1024,8	1020,7
mittl. Temp.(°C)	12,5	11,7	12,8	11,1	11,4	8,5	9	11,2	13,9	16,4
Sonnenscheindauer (h)	4,4	2,6	10,1	5,3	9,7	10,2	12,9	12,1	12,3	10,7
Niederschlag (Liter)	2,1 / ...	0	0	0,1	0	0	0	0	0	0
Bodenwetterlage 00 UTC (Kernlage des Druckgebiets, das SW-D beeinflusst)	T ü S-Nm, H ü N- Kapart	fl T ü O-D, fl T ü Korsi, H ü SO-Atl	H ü NW-F	T ü S-Atl, H ü Osee	H ü O-Atl	H bei Irland	H bei Irland	H ü Benel	H ü Tschech	T ü Nm, H ü Balk, H ü O-Atl
Bodenströmung 12 UTC zyklonal (z), antizyklonal (a)	z	a-z	a-z	fl a		a-z	a	fl a	fl a	fl z
Strömung auf 500 hpa 00 UTC	S a-z	S fl a	fl a	N a-z	z	NW a-z	N a	N a	NNW a	W a-z
zutreffende Wettersymbole	3 r	2-5 r	2-5 r	2-5 hr	3 r	2-3 r	2 hr	2 hr	2 r	2-3 hr

Übertrag	01:45	04:21	00:56	00:16	02:55	04:02	01:34	12:00	00:50	07:31
Index 1: 0 / +10	MAR 135 QUA STI 15°45'18" STE 00°45'19" T-4	MER 120 KN1 STI 01°23'60" JUN 01°23'59" A	PAL 150 KN1 WID 01°21'16" JUN 01°21'16" T* -5	JUP 72 QUA WAA 18°45'10" STE 00°45'10" T* -6	MAR 150 JUP STI 18°36'40" WAA 18°36'39" H +4	MAR 120 PLU STI 19°20'50" STE 19°20'49" AW	CER 144 GaZ STI 20°59'04" SCH 26°59'04" H* +5	MAR 144 GaZ STI 20°59'05" SCH 26°59'05" A	SON 90 PLU WID 19°21'56" STE 19°21'56" A	MAR 0 CER STI 22°15'18" STE 22°15'18" A
Index 2: 0	VEN 45 MAR WID 00°53'21" STI 15°53'23" T-2	SON 30 NEP WID 12°51'14" FIS 12°52'32" T-3	JUP 144 NEP WAA 18°52'32" FIS 12°52'32" A* W*	SON 90 JUN WID 15°12'40" STE 15°12'39" A	PAL 180 GSZ WID 02°18'14" WAA 02°18'14" A*	PAL 180 FY9 WID 02°36'52" WAA 02°36'52" A*	VEN 120 VAR FIS 28°19'08" KRE 28°19'08" H +2	VEN 72 JUN FIS 27°49'50" STE 15°49'50" A	SAT 144 CER SCH 27°47'17" STI 21°47'17" A	SON 135 APO WID 21°14'54" SCH 06°14'54" T ---
	PAL 90 QUA WID 00°45'19" STE 00°45'19" A*	VES 45 ORC KRE 22°30'22" JUN 07°30'22" A*	SON 144 ORC WID 13°29'54" JUN 07°29'53" A	SON 135 KN1 WID 16°12'26" JUN 01°12'25" H +3	SON 135 KN1 WID 16°12'26" JUN 01°12'25" H +3	SON 180 JUP WID 18°15'12" WAA 18°15'13" H W +6	VEN 90 SAT FIS 27°47'21" SCH 27°47'21" H W +4	VES 90 EL6 KRE 23°46'26" WAA 23°46'26" A*	MAR 144 SAT STI 21°47'07" SCH 27°47'07" A	VEN 90 EL6 KRE 23°46'26" WAA 23°46'26" A*
	VEN 0 PAL WID 00°47'34" WID 00°47'33" A	PLU 120 CER STE 19°19'11" STI 19°19'11" A*	MAR 135 GSZ STI 17°18'13" WAA 02°18'13" A	VES 90 ERI KRE 23°06'23" WID 23°06'23" T* -5	VES 90 ERI KRE 23°06'23" WID 23°06'23" T* -5	VEN 90 SAT WID 18°15'12" WAA 18°15'13" H W +6	MAR 144 SAT STI 21°47'07" SCH 27°47'07" A	MAR 144 SAT STI 21°47'07" SCH 27°47'07" A	MAR 144 SAT STI 21°47'07" SCH 27°47'07" A	MAR 144 SAT STI 21°47'07" SCH 27°47'07" A
	MER 120 QUA STI 00°45'17" STE 00°45'18" A	PLU 72 PAL STE 19°19'16" WID 01°19'16" A*	MER 150 GSZ STI 02°18'13" WAA 02°18'13" A	URA 180 EL6 WID 23°52'29" WAA 23°52'29" H?(5/1,5) +9/0	URA 180 EL6 WID 23°52'29" WAA 23°52'29" H?(5/1,5) +9/0	URA 180 EL6 WID 23°52'29" WAA 23°52'29" H?(5/1,5) +9/0	MAR 144 SAT STI 21°47'07" SCH 27°47'07" A	MAR 144 SAT STI 21°47'07" SCH 27°47'07" A	MAR 144 SAT STI 21°47'07" SCH 27°47'07" A	MAR 144 SAT STI 21°47'07" SCH 27°47'07" A
	MER 30 VEN STI 00°46'01" WID 00°45'59" T K -1	MER 150 FY9 STI 02°40'01" WAA 02°40'02" Hf +7	MER 150 FY9 STI 02°40'01" WAA 02°40'02" Hf +7	URA 180 EL6 WID 23°52'29" WAA 23°52'29" H?(5/1,5) +9/0	URA 180 EL6 WID 23°52'29" WAA 23°52'29" H?(5/1,5) +9/0	URA 180 EL6 WID 23°52'29" WAA 23°52'29" H?(5/1,5) +9/0	MAR 144 SAT STI 21°47'07" SCH 27°47'07" A	MAR 144 SAT STI 21°47'07" SCH 27°47'07" A	MAR 144 SAT STI 21°47'07" SCH 27°47'07" A	MAR 144 SAT STI 21°47'07" SCH 27°47'07" A
	VEN 90 QUA WID 00°45'18" STE 00°45'18" A	MAR 135 FY9 STI 17°40'01" WAA 02°40'01" H +4	MAR 135 FY9 STI 17°40'01" WAA 02°40'01" H +4	URA 180 EL6 WID 23°52'29" WAA 23°52'29" H?(5/1,5) +9/0	URA 180 EL6 WID 23°52'29" WAA 23°52'29" H?(5/1,5) +9/0	URA 180 EL6 WID 23°52'29" WAA 23°52'29" H?(5/1,5) +9/0	MAR 144 SAT STI 21°47'07" SCH 27°47'07" A	MAR 144 SAT STI 21°47'07" SCH 27°47'07" A	MAR 144 SAT STI 21°47'07" SCH 27°47'07" A	MAR 144 SAT STI 21°47'07" SCH 27°47'07" A
	MER 30 PAL STI 00°50'07" WID 00°50'07" A	URA 180 EL6 WID 23°52'29" WAA 23°52'29" H?(5/1,5) +9/0	URA 180 EL6 WID 23°52'29" WAA 23°52'29" H?(5/1,5) +9/0	URA 180 EL6 WID 23°52'29" WAA 23°52'29" H?(5/1,5) +9/0	URA 180 EL6 WID 23°52'29" WAA 23°52'29" H?(5/1,5) +9/0	URA 180 EL6 WID 23°52'29" WAA 23°52'29" H?(5/1,5) +9/0	MAR 144 SAT STI 21°47'07" SCH 27°47'07" A	MAR 144 SAT STI 21°47'07" SCH 27°47'07" A	MAR 144 SAT STI 21°47'07" SCH 27°47'07" A	MAR 144 SAT STI 21°47'07" SCH 27°47'07" A
	MAR 72 VAR STI 16°19'54" KRE 28°19'53" A	URA 180 EL6 WID 23°52'29" WAA 23°52'29" H?(5/1,5) +9/0	URA 180 EL6 WID 23°52'29" WAA 23°52'29" H?(5/1,5) +9/0	URA 180 EL6 WID 23°52'29" WAA 23°52'29" H?(5/1,5) +9/0	URA 180 EL6 WID 23°52'29" WAA 23°52'29" H?(5/1,5) +9/0	URA 180 EL6 WID 23°52'29" WAA 23°52'29" H?(5/1,5) +9/0	MAR 144 SAT STI 21°47'07" SCH 27°47'07" A	MAR 144 SAT STI 21°47'07" SCH 27°47'07" A	MAR 144 SAT STI 21°47'07" SCH 27°47'07" A	MAR 144 SAT STI 21°47'07" SCH 27°47'07" A
	JUP 150 CER WAA 19°00'44" STI 19°00'45" T* -5	URA 180 EL6 WID 23°52'29" WAA 23°52'29" H?(5/1,5) +9/0	URA 180 EL6 WID 23°52'29" WAA 23°52'29" H?(5/1,5) +9/0	URA 180 EL6 WID 23°52'29" WAA 23°52'29" H?(5/1,5) +9/0	URA 180 EL6 WID 23°52'29" WAA 23°52'29" H?(5/1,5) +9/0	URA 180 EL6 WID 23°52'29" WAA 23°52'29" H?(5/1,5) +9/0	MAR 144 SAT STI 21°47'07" SCH 27°47'07" A	MAR 144 SAT STI 21°47'07" SCH 27°47'07" A	MAR 144 SAT STI 21°47'07" SCH 27°47'07" A	MAR 144 SAT STI 21°47'07" SCH 27°47'07" A

April 2017



Prognose für SW-Deutschland

Den ganzen Monat ist Makemake 0° Supergalaktisches Zentrum aktiviert. Uranus 0° Eris bleibt bis zum 8. aktiviert und löst die unbekannteren Aspekte Orcus 135° Eris 7° und Eris 180° Haumea 7° aus. Den ganzen Monat bleibt auch die Konjunktion von Saturn mit dem Galaktischen Zentrum erhalten.
 12. bis 17. sehr dichte Positionierung von Mars, Ceres und Sedna, und 12. bis 16. sehr dichte Positionierung von Sonne, Eris, Uranus. 25. bis 30. sehr dichte Positionierung von Merkur, Uranus und Eris.
 Am 24. wird die Konjunktion zwischen Makemake und dem Supergalaktischen Zentrum (?) exakt, am 30. Eris 180° Haumea 7°.

Langsamläufer-Impulse	T*	2T*	H*	T*, ?*					2H*	?*, H*
Schnellläufer-Impulse	H	2H, T, Hf	2T	Hf, H, T				H, T	H	
Temperaturimpulse	2W		K						2K	
Premeteo-Index - zyklonal, + antizyklonal (Index 1+2+3)	-5	-10	-7	4	-10	3	15	11	24	26
Pre.IX (ALTERNATIV)	-6									
Index 1 (12 - 12 UTC) exakte Aspekte des Tages	2	-1	-5	11	-14		3	1	0	16
Index 1 (ALTERNATIV)										
Symmetrien (0 - 0 UTC)	Mak 60p Chi Pal (12) ? A* --- Cer 60 Chi Ves (19) A* W* T* A* --- Sat 149 Var Cer (21) A* H* A* +7	Jup 80p Ura Pal (01) H*(13/5/1) A* +7? Gaz 150 Ves Cer (08) T* T* T* -14 Mer 4 Son Ura (12) H A +7?	Mer 5 Son Eri (05) H H +7? Mer 30 Ven Cer (18) T K Hf A W ? Cer 61 Chi Var (21) A* W* A* ? ---	Sat 150 Ves Cer (00) T* H* T* ? Mar 134 Jup Jun (08) T A A* -7 Mer 30 Chi Cer (11) A Hf A* W* ---	Cer 60 Ven Ves (05) A W T* A --- Ura 2 Eri Mer (10) ? A Auslösung Index 3	Mer 29 Chi Sed (07) A T ? --- Cer 60 Ven Var (16) A W A* H ---			Ura 14 Son Pal (01) H --- Son 16 Sed Mer (09) T --- Son 15 Ura Sed (17) A?(3/3) ---	
Index 2 (12 - 12 UTC)	0	-7	0	-7	0	0	0	0	14	0
Index 2 (ALTERNATIV)										
ausgelöste LL-Aspekte	Ven 90 Sat H +2 Cer 150 Gaz T-5 Ves 150 Gaz T-5 Ura 30 Sed A?(3/3) Nep 72 Sed T* (0,5/2) -10/0 Qua 144 Sed H? (6,5/2) +11/0	Ven 90 Sat H +2 Son 150 Mak H +3 Son 150 GSZ H3 Cer 150 Gaz T-5 Ves 150 Gaz T-5	Ven 90 Sat H +2 Son 150 Mak H +3 Son 150 GSZ H3 Cer 150 Gaz T-5 Ves 150 Gaz T-5	Ven 90 Sat H +2 Ven 120 Var H2 Mar 120 GSZ T-4 Cer 150 Gaz T-5 Ves 150 Gaz T-5 Nep 135 Var H*(11/3,5) +10	Ven 120 Var H2 Mar 120 GSZ T-4 Ves 150 Gaz T-5 Nep 135 Var H*(11/3,5) +10 Auslösung: Mer 90 Ves H +1	Ven 120 Var H2 Mar 120 GSZ T-4 Ves 150 Gaz T-5 Nep 135 Var H*(11/3,5) +10	Ven 120 Var H2 Ura 30 Sed A?(3/3) Nep 135 Var H*(11/3,5) +10	Ura 30 Sed A?(3/3) Nep 135 Var H*(11/3,5) +10	Ura 30 Sed A?(3/3) Nep 135 Var H*(11/3,5) +10	
Index 3 (Summe)	-7	-2	-2	0	4	3	12	10	10	10
Index 3 (ALTERNATIV)	-8									
Symbol-Prognose	3	5	3	3	3	3	2	2	2	2
Wochentag	Fr	Sa	So	Mo	Di	Mi	Do	Fr	Sa	So
Datum	21	22	23	24	25	26	27	28	29	30
reale Wetterlage				T4: T*, T - Hf, H - ?* / -3			H4: 3H*, 2H - T - ?* / +76			
Luftdruck (hpa) 06 UTC	1033,8	1026,9	1026,1	1020,6	1008,9	1011	1016,2	1015	1019,5	1014,4
mittl. Temp.(°C)	7,8	7,8	7,2	10,4	8,4	6	6	7,9	10,3	13,6
Sonnenscheindauer (h)	10,9	0	12,2	13	0,5	0	0,1	6,4	12,5	13
Niederschlag (Liter)	0	0,2	0	0	11,9 / 14	9,2 / 10	0,1 / 1	0	0	0,7
Bodenwetterlage 00 UTC (Kernlage des Druckgebiets, das SW-D beeinflusst)	H mit Kernen ü Irland u S-D	H ü SW-D, T ü Finn	H w Irland	H ü SO-D T ü Nsee	T ü S-Schweden	T ü SO-F, T ü Osee	H ü O-Atl, T ü GG	H ü O-Atl, T ü N-Ital	H ü CH	H ü NO-D T bei Irland
Bodenströmung 12 UTC zyklonal (z), antizyklonal (a) Strömung auf 500 hpa 00 UTC	a	fl a	fl a	fl z	z	fl z	fl a	fl a	a-z	a-z
zutreffende Wettersymbole	2 hr	5 r	2 hr	2 hr	5 hr	5 hr	5 f	3 hr	2 r	2 r

02:01 MER 30 MAR WID 29°45'13" STI 29°45'14" A	03:57 CHI 120 VES FIS 26°52'53" KRE 26°52'53" A*	02:34 MER 90 VAR WID 28°20'42" KRE 28°20'42" A	00:59 MER 30 CER WID 27°43'28" STI 27°43'28" Hf +7	03:29 MER 30 CHI WID 27°01'56" FIS 27°01'56" A	06:50 SON 120 ORC STI 07°12'16" JUN 07°12'15" H +3	04:33 CER 144 EL6 STI 29°24'17" WAA 23°24'16" A*	12:49 CER 90 KN1 STI 29°57'05" LOW 29°57'05" A*	00:05 EL6 45 APO WAA 23°22'14" SCH 08°22'14" A*
08:00 SON 144 APO STI 01°24'17" SCH 07°24'17" A W	05:01 CER 150 GaZ STI 26°59'10" SCH 26°59'10" T* -5	08:23 MAR 135 JUP ZWI 01°19'16" WAA 16°19'16" T -4	05:04 VEN 120 VAR FIS 28°21'01" KRE 28°21'01" H +2	05:19 MER 120 GaZ WID 26°59'11" SCH 26°59'11" A	12:31 VES 0 VAR KRE 28°22'09" KRE 28°22'09" A*	06:53 SON 150 APO STI 08°10'46" SCH 08°10'45" A	13:43 PAL 45 SED WID 10°41'13" STI 25°41'14" H* +5	01:32 ERI 180 EL6 WID 23°22'10" WAA 23°22'10" ?*
11:12 VEN 90 SAT FIS 27°36'23" SCH 27°36'22" H W +2	06:07 SON 150 GSZ STI 02°18'14" WAA 02°18'13" H +3	10:40 MER 30 VEN WID 28°07'03" FIS 28°07'04" T K ---	05:28 CHI 90 GaZ FIS 26°59'11" ZWI 02°46'18" SCH 26°59'11" A(6/5)	10:49 MAR 135 JUN WID 26°59'11" STE 17°46'19" A	17:07 MER 30 SED WID 25°39'48" STI 25°39'49" T -1	08:33 SON 144 FY9 STI 08°14'49" WAA 02°14'48" A	20:14 VEN 90 QUA WID 00°35'29" STE 00°35'29" A	19:51 JUP 135 CER WAA 15°28'42" ZWI 00°28'43" H* +5
12:39 CER 60 VES STI 26°42'43" KRE 26°42'43" T* -5	07:02 SON 150 FY9 STI 02°20'28" WAA 02°20'28" H +6	14:37 SAT 150 CER SCH 27°33'00" STI 27°33'00" H* ---	08:16 MER 120 SAT WID 27°31'45" SCH 27°31'45" A	14:36 CER 60 VAR STI 28°21'28" KRE 28°21'28" A*	19:01 MAR 135 PLU ZWI 04°23'06" STE 19°23'07" A	09:56 SON 144 GSZ STI 08°18'11" WAA 02°18'12" A	23:39 ERI 135 APO WID 23°22'07" SCH 08°22'07" H* (11/6) +11	20:29 SAT 90 CHI SCH 27°18'34" FIS 27°18'34" A*
22:01 CHI 60 CER FIS 26°52'07" STI 26°52'08" A* W*	09:31 MAR 150 QUA ZWI 00°39'44" STE 00°39'45" Hf +10	09:44 MER 90 VES WID 27°29'25" KRE 27°29'24" H +2	09:44 MER 90 VES WID 27°29'25" KRE 27°29'24" H +2	12:40 SAT 150 VES SCH 27°31'26" KRE 27°31'26" T* -10	12:24 VEN 72 JUN FIS 29°59'04" STE 17°59'04" A	10:00 Nep 135 VES FIS 13°37'43" KRE 28°37'43" A*	12:24 VEN 150 KN1 WID 00°00'11" JUN 00°00'11" H K +2	14:51 MER 0 URA WID 25°16'45" WID 25°16'44" A K
21:38 MAR 90 KN1 ZWI 00°21'10" JUN 00°21'11" A	13:20 VES 150 GaZ KRE 26°59'10" SCH 26°59'10" T* -10	15:42 FY9 0 GSZ WAA 02°18'12" WAA 02°18'12" ?*	18:28 MAR 120 FY9 ZWI 02°18'06" WAA 02°18'06" A	18:31 MAR 120 GSZ ZWI 02°18'12" WAA 02°18'12" T -4	13:25 VEN 150 KN1 WID 00°00'11" JUN 00°00'11" H K +2	14:51 MER 0 URA WID 25°16'45" WID 25°16'44" A K		

05.05.2017		Den ganzen Monat ist Makemake 0° Supergalaktisches Zentrum aktiviert. Uranus 0° Eris bleibt bis zum 8. aktiviert und löst die unbekannteren Aspekte Orcus 135° Eris ?° und Eris 180° Haumea ?° aus. Den ganzen Monat bleibt auch die Konjunktion von Saturn mit dem Galaktischen Zentrum erhalten. Venus bleibt vom 6. bis 24. in 90° zu Saturn und damit zur Saturn-GaZ-Konjunktion! Ebenfalls sehr lang anhaltende Konjunktion von Venus mit Chiron vom 12. bis 22. April. 12. bis 17. sehr dichte Positionierung von Mars, Ceres und Sedna, und 12. bis 16. sehr dichte Positionierung von Sonne, Eris, Uranus. 25. bis 30. sehr dichte Positionierung von Merkur, Uranus und Eris. Am 24. wird die Konjunktion zwischen Makemake und dem Supergalaktischen Zentrum (?) exakt, am 30. Eris 180° Haumea ?°.									
April 2017		Prognose für SW-Deutschland									
01.04.2017		Im Index 3 korrigierte Prognose (Originalprognose vom 20.12.2014)									
Langsamläufer-Impulse	T*		T*, H?*	T*	T*		H*	H			
Schnellläufer-Impulse	3T	T	Hf, H		2H		2H				T
Temperaturimpulse	K		W*				W	W	W		
Premeteo-Index - zyklonal, + antizyklonal (Index 1+2+3)	-3	-11	-5	14	4	-16	7	-1	4	0	
Pre.IX (ALTERNATIV)	7			5						14	
Index 1 (12 - 12 UTC) exakte Aspekte des Tages	-7	-8	-5	14	4	-2	7	6	4	0	
Index 1(ALTERNATIV)	3			5							
Symmetrien (0 - 0 UTC)	Jup 144 Nep Sed (08) A* W* A* T?(0,5/2) --	Ura 23 Mar Pal (03) Hf -- Mar 136 Qua GSZ (04) T A ? -7 Mar 136 Qua Mak (11) T H ? ? ?	Eri 9 Son Mer (09) H H +7? Jup 5op Son Ura (10) H W H*(13/5) +7?	Jup 4op Son Eri (00) H W A*(5/5) +7? Ura 9 Son Mer (08) H K A +7?	Ven 3 Chi Pal (05) Tst A -- Qua 72 Jup Nep (17) T* T? A* W* -14	Cer 68 Nep Var (05) H* (11/3,5) --	Ves 90 Eri Hau (16) T* A* ? -7	Mar 68 Nep Var (02) H*(11/3,5) -- Son 36 Nep Sed (22) T?(0,5/2) --	Nep 72 Qua Sed (18) H?(0,2) T?(0,5/2) H?(6,5/2) -14/0	Ves 90 Ura Hau (05) T* A* H?(5/1,5) (-7) Son 3op Jup Hau (13) H W H +14	
Index 2 (12 - 12 UTC)	0	-7	0	0	0	-14	0	-7	0	0	
Index 2 ALTERNATIV										14	
ausgelöste LL-Aspekte	Cer 135 Mak H* +5 Mar 45 Pal H4 Pal 150 Kn1 T-5 (Pal 30 Kn2 T-5) Ves 90 Eri T-5 Kn1 30 GSZ H13 (Kn2 150 GSZ H13) Orc 135 Eri ? Hau 180 Eri ?*	Mar 45 Pal H4 Pal 150 Kn1 T-5 (Pal 30 Kn2 T-5) Ves 90 Eri T-5 Kn1 30 GSZ H13 (Kn2 150 GSZ H13) Orc 135 Eri ? Hau 180 Eri ?*	Mer 150 Mak H +1 Ves 90 Eri T-5 Kn1 30 GSZ H13 (Kn2 150 GSZ H13) Orc 135 Eri ? Hau 180 Eri ?*	Mer 150 Mak H +1 Ves 90 Eri T-5 Kn1 30 GSZ H13 (Kn2 150 GSZ H13) Orc 135 Eri ? Hau 180 Eri ?*	Mer 150 Mak H +1 Ves 90 Eri T-5 Kn1 30 GSZ H13 (Kn2 150 GSZ H13) Orc 135 Eri ? Hau 180 Eri ?*	Ven 90 Sat H +2 Cer 144 GaZ H5 Ves 90 Eri T-5 Orc 135 Eri ? Hau 180 Eri ?*	Ven 90 Sat H +2 Cer 144 GaZ H5 Ves 90 Eri T-5 Orc 135 Eri ? Hau 180 Eri ?*	Ven 90 Sat H +2 Cer 144 GaZ H5 Ves 90 Eri T-5 Orc 135 Eri ? Hau 180 Eri ?*	Ven 90 Sat H +2 Cer 144 GaZ H5	Ven 90 Sat H +2 T* A* H?(5/1,5) (-7) Son 3op Jup Hau (13) H W H +14	
Index 3 (Summe)	-4	4	0	0	0	0	0	0	0	0	
Index 3 ALTERNATIV	3	5	3	2	3	3	3	3	3	3	
Symbol-Prognose	3	5	3	3	3	3	3	3	3	2	
Symbol-Prognose altern.	Sa	So	Mo	Di	Mi	Do	Fr	Sa	So	Mo	
Wochentag	1	2	3	4	5	6	7	8	9	10	
Datum	1	2	3	4	5	6	7	8	9	10	
reale Wetterlage	T1: T*, 4T / -14		H1: 2H*, Hf, 6H - 3T* / +7							T2: T / 0	
Luftdruck (hpa) 06 UTC	1013,1	1018,4	1024,4	1023,1	1023,8	1026,5	1026,9	1025,4	1024,8	1020,7	
mittl. Temp.(°C)	12,5	11,7	12,8	11,1	11,4	8,5	9	11,2	13,9	16,4	
Sonnenscheindauer (h)	4,4	2,6	10,1	5,3	9,7	10,2	12,9	12,1	12,3	10,7	
Niederschlag (Liter)	2,1 / ...	0	0	0,1	0	0	0	0	0	0	
Bodenwetterlage 00 UTC (Kernlage des Druckgebietes, das SW-D beeinflusst)	T ü S-Nm, H ü N- Kapart	fl T ü O-D, fl T ü Korsl, H ü SO-Atl	H ü NW-F	T ü S-Ital, H ü Osee	H ü O-Atl	H bei Irland	H bei Irland	H ü Benel	H ü Tschech	T ü Nm, H ü Balk, H ü O-Atl	
Bodenströmung 12 UTC zyklonal (z), antizyklonal (a)	z	a-z	a-z	fl a		a-z	a	fl a	fl a	fl z	
Strömung auf 500 hpa 00 UTC	S a-z	S fl a	fl a	N a-z	z	NW a-z	N a	N a	NNW a	W a-z	
zutreffende Wettersymbole	3 r	2-5 hr	2-5 r	2-5 hr	3 r	2-3 r	2 hr	2 hr	2 hr	2-3 hr	

Übertrag	01:45	04:21	00:56	00:16	02:55	04:02	01:34	12:00	00:50	07:31
Index 1: 0 / +10	MAR 135 QUA	MER 120 KN1	PAL 150 KN1	JUP 72 QUA	MAR 150 JUP	MAR 120 PLU	CER 144 GaZ	MAR 144 GaZ	SON 90 PLU	MAR 0 CER
Index 2: 0	STI 15°45'18" STE 00°45'19" T-4	STI 01°23'60" JUN 01°21'16" A	WID 01°21'16" JUN 01°21'16" T*-5	WAA 18°45'10" WAA 00°45'10" H+4	STI 18°36'40" WAA 18°36'39" H+4	STI 19°20'50" STE 19°20'49" AW	STI 20°59'04" SCH 26°59'04" H* +5	STI 20°59'05" SCH 26°59'05" A	WID 19°21'56" STE 19°21'56" A	STI 22°15'18" STI 22°15'18" A
	06:19	10:03	01:11	19:27	17:30	14:38	02:28	16:47	02:56	22:52
	VEN 45 MAR	SON 30 NEP	JUP 144 NEP	SON 90 JUN	PAL 180 GSZ	PAL 180 FY9	VEN 120 VAR	VEN 72 JUN	SAT 144 CER	SON 135 APO
	WID 00°53'21" STI 15°53'23" T-2	WID 12°51'14" FIS 12°51'15" T-3	WAA 18°52'32" FIS 12°52'32" A* W*	WID 15°12'40" STE 15°12'39" A	WID 02°18'14" WAA 02°18'14" A*	WID 02°36'52" WAA 02°36'52" A*	FIS 28°19'08" KRE 28°19'08" H+2	FIS 27°49'50" STE 15°49'50" A	STI 27°47'17" STI 21°47'17" A*	WID 21°14'54" SCH 06°14'54" T --
	08:10	13:10	01:44	19:44	19:44	14:38	02:28	20:27	03:53	
	PAL 90 QUA	VES 45 ORC	SON 144 ORC	SON 135 KN1	SON 180 JUP	VEN 90 SAT	VES 90 EL6			
	WID 00°45'19" STE 00°45'19" A*	KRE 22°30'22" JUN 07°30'22" A*	WID 13°29'54" JUN 07°29'53" A	WID 16°12'26" JUN 01°12'25" H+3	WID 16°12'26" JUN 01°12'25" H+3	WID 18°15'12" WAA 18°15'13" HW +6	FIS 27°47'21" SCH 27°47'21" HW +4	KRE 23°46'26" WAA 23°46'26" A*	MAR 144 SAT STI 21°47'07" SCH 27°47'07" A	
	10:42	18:30	06:23	19:55			15:25			
	VEN 0 PAL	PLU 120 CER	MAR 135 GSZ	VES 90 ERI						
	WID 00°47'34" WID 00°47'33" A	STE 19°19'11" STI 19°19'11" A*	STI 17°18'13" WAA 02°18'13" A	KRE 23°06'23" WID 23°06'23" T* -5						
	11:36	22:40	06:38				19:20			
	MER 120 QUA	PLU 72 PAL	MER 150 GSZ							
	STI 00°45'17" STE 00°45'18" A	STE 19°19'16" WID 01°19'16" A*	STI 02°18'13" WAA 02°18'13" A						JUN 135 KN1 STE 15°59'46" JUN 00°59'46" A*	
	11:54		18:29							
	MER 30 VEN		MER 150 FY9							
	STI 00°46'01" WID 00°45'59" T K -1		STI 02°40'01" WAA 02°40'02" Hf +7							
	12:25		18:45							
	VEN 90 QUA		MAR 135 FY9							
	WID 00°45'18" STE 00°45'18" A		STI 17°40'01" WAA 02°40'01" H +4							
	13:37		23:13							
	MER 30 PAL		URA 180 EL6							
	STI 00°50'07" WID 00°50'07" A		WID 23°52'29" WAA 23°52'29" H?(5/1,5) +9 / 0							
	21:20									
	MAR 72 VAR									
	STI 16°19'54" KRE 28°19'53" A									
	23:21									
	JUP 150 CER									
	WAA 19°00'44" STI 19°00'45" T* -5									

April 2017



Prognose für SW-Deutschland

Im Index 3 korrigierte Prognose
 (Originalprognose vom 20.12.2014)

Den ganzen Monat ist Makemake 0° Supergalaktisches Zentrum aktiviert. Uranus 0° Eris bleibt bis zum 8. aktiviert und löst die unbekannteren Aspekte Orcus 135° Eris 7° und Eris 180° Haumea 7° aus. Den ganzen Monat bleibt auch die Konjunktion von Saturn mit dem Galaktischen Zentrum erhalten. Venus bleibt vom 6. bis 24. in 90° zu Saturn und damit zur Saturn-GaZ-Konjunktion! Ebenfalls sehr lang anhaltende Konjunktion von Venus mit Chiron vom 12. bis 22. April.
 12. bis 17. sehr dichte Positionierung von Mars, Ceres und Sedna, und 12. bis 16. sehr dichte Positionierung von Sonne, Eris, Uranus. 25. bis 30. sehr dichte Positionierung von Merkur, Uranus und Eris.
 Am 24. wird die Konjunktion zwischen Makemake und dem Supergalaktischen Zentrum (?) exakt, am 30. Eris 180° Haumea 7°.

Langsamläufer-Impulse	T*		T*		H*	H*	H*	H*, T*	H*	H*
Schnellläufer-Impulse		2T, H	2H	T, H		H, T	Hf		T	H
Temperaturimpulse			W*	K		2K	W			W
Premeteo-Index - zyklonal, + antizyklonal (Index 1+2+3)	12	7	9	23	1	-12	13	3	-11	15
Pre.IX (ALTERNATIV)	5	-8	19	16	-10		23			
Index 1 (12 - 12 UTC) exakte Aspekte des Tages	0	-4	11	6	11	-1	10	0	-11	18
Index 1(ALTERNATIV)		-12			0		20			
Symmetrien (0 - 0 UTC)	Hau 10p Ura Eri (09) H? (5/15) ? +7/0 Eri 1 Son Ura (18) H A? (2/1) +7	Hau 10p Son Ura (18) H H? (5/15) +7/0 Sed 59 Chi Ves (21) ? H* A* --	Mar 143 Jup Qua (01) T A T* -7 Mar 1 Sed Cer (13) A A Auslösung Index3 Son 1 Ura Eri (13) H K H +14 Hau 180 Son Eri (22) H ? +7/0	Cer 144 Jup Qua (20) T* W* A* T* -7	Nep 73 Mar Qua (10) A T? (0/2) A -7 Mar 59 Chi Ves (11) T T A* -- Ura 1 Son Eri (16) H K A? (2/1) +7 Mar 59 Ven Ves (19) A W T A -- Son 30 Chi Sed (20) A A ? --	Son 29 Ven Sed (01) T K A A -- Sed 1 Mar Cer (07) A T* -7 Son 30 Mar Chi (08) H K A T -- Son 30 Ven Mar (15) T K H K A W ?	Son 4 Eri Mer (13) H H +7 Mar 61 Chi Var (20) T A ? --	Son 4 Ura Mer (02) H K H +7 Mar 61 Ven Var (02) A W A H --		Nep 73 Qua Cer (02) T? (0/2) H* A* ?
Index 2 (12 - 12 UTC)	7	14	7	7	-7	-7	7	7	0	0
Index 2 ALTERNATIV	0	7		0						
ausgelöste LL-Aspekte	Ven 90 Sat H +2 Cer 30 Eri H5	Ven 90 Sat H +2 Cer 30 Eri H5 Chi 60 Sed T (1/0) -8 Orc 135 Eri ? Hau 180 Eri ?	Ven 90 Sat H +2 Mar 30 Ura H +4 Cer 30 Eri H5 Chi 60 Sed T (1/0) -8 Orc 135 Eri ? Hau 180 Eri ? Auslösung Index2: Nep 72 Sed T? (0,5/2) -10/0	Ven 90 Sat H +2 Mar 30 Ura H4 Ura 180 Hau H9 Ves 60 Sed H5 Nep 72 Sed T? (0,5/2) -10/0 Chi 60 Sed T? (1/0) -8	Ven 90 Sat H +2 Mar 60 Chi T-4 Ura 180 Hau H9 Ves 60 Sed H5 Nep 72 Sed T? (0,5/2) -10/0 Chi 60 Sed T? (1/0) -8	Mer 150 Mak H +1 Ven 90 Sat H +2 Mar 60 Chi T-4 Ves 60 Sed H5 Ura 30 Sed A? (3/3) Nep 72 Sed T? (0,5/2) -10/0 Qua 144 Sed H? (6,5/2) +11/0	Mer 150 Mak H +1 Ven 90 Sat H +2 Mar 60 Chi T-4 Ves 60 Sed H5 Ura 30 Sed A? (3/3) Nep 72 Sed T? (0,5/2) -10/0 Qua 144 Sed H? (6,5/2) +11/0	Mer 150 Mak H +1 Ven 90 Sat H +2 Mar 60 Chi T-4 Ves 60 Sed H5 Ura 30 Sed A? (3/3) Nep 72 Sed T? (0,5/2) -10/0 Qua 144 Sed H? (6,5/2) +11/0	Ven 90 Sat H +2 Cer 150 GaZ T-5 Ves 150 GaZ T-5 Ura 30 Sed A? (3/3) Nep 72 Sed T? (0,5/2) -10/0 Qua 144 Sed H? (6,5/2) +11/0	Ven 90 Sat H +2 Cer 150 GaZ T-5 Ves 150 GaZ T-5 Ura 30 Sed A? (3/3) Nep 72 Sed T? (0,5/2) -10/0 Qua 144 Sed H? (6,5/2) +11/0
Index 3 (Summe)	5	-3	-9	10	-3	-4	-4	-4	0	-3
Index 3 ALTERNATIV			1							
Symbol-Prognose	2	3	3	2	3	3	2	3	3	3
Wochentag	Di	Mi	Do	Fr	Sa	So	Mo	Di	Mi	Do
Datum	11	12	13	14	15	16	17	18	19	20
reale Wetterlage	H2: 2H*, 5H - 2T*, 4T / +40					T3: H*, Hf / +13			H3: H*, 3H*, Hf, 4H - 4T*, 4T / +3	
Luftdruck (hpa) 06 UTC	1025,4	1023,7	1017,1	1017,8	1017,5	1021,3	1019,2	1030,1	1036,1	
mittl. Temp.(°C)	9,8	12,4	13,2	12,2	11,3	9,2	7,8	4,5	3,8	4,1
Sonnenscheindauer (h)	8,2	10,3	4,6	1	0,6	0,1	0	5	4,2	11,1
Niederschlag (Liter)	0	0	0	0	1,3	2,2	9,1	2,1 / 1	0 / 2	0
Bodenwetterlage 00 UTC (Kernlage des Druckgebiets, das SW-D beeinflusst)	H ü O-Atl	H ü Österr, H ü O-Atl	H ü O-Atl, T ü S-Skand u Baillt	H ü O-Atl	H ü O-Atl, T ü GG, T n Schottl	H ü O-Atl	fl T ü Nsee	H sw Irland, T ü Österr	H ü Nsee	H mit Kernen ü Irl u N-D
Bodenströmung 12 UTC zyklonal (z, antizyklonal (a))	fl a	fl a	a	fl a	fl a	fl a	fl z	fl a	fl a	a
Strömung auf 500 hpa 00 UTC	NW fl z	NW a	NW a-z	NW a-z	WNW a-z	NW z	NW z	NW z	N z	NO z
zutreffende Wettersymbole	2-3 hr	2-3 r	3-5 f	5 f	5 hr	5 hr	5 f	3-5 hr	5 hr	2 hr

14:53	02:18	02:22	00:30	03:42	02:39	01:27	02:15	00:41	02:15
MAR 30 ERI STI 23°10'09" WID 23°10'10" A	SON 135 ORC WID 22°22'09" JUN 07°22'09" T 0 / -3	SON 30 CER STI 23°21'08" A	MAR 60 VES STI 24°50'43" KRE 24°50'44" T ---	QUA 120 KN1 STE 00°42'46" JUN 00°42'46" H* +11/0	SON 30 MAR WID 26°18'04" STI 26°18'04" H K +3	VEN 60 MAR FIS 26°57'42" STI 26°57'43" A W	MAR 150 SAT STI 27°40'48" SCH 27°40'48" A	MAR 60 VAR STI 28°19'44" KRE 28°19'44" A	MER 120 KN1 STI 00°27'04" JUN 00°27'05" A
16:11	04:44	09:37	05:31	07:20	04:11	02:16	03:05	01:54	03:41
URA 90 VES WID 24°18'50" KRE 24°18'50" T 0 / -5 Index 2	MER 30 PAL STI 04°35'05" WID 04°35'06" A	MAR 30 URA STI 24°24'46" WID 24°24'46" H +4	SON 0 URA WID 24°27'37" STI 25°30'48" H K +6	SON 30 SED WID 25°30'48" STI 25°30'48" A	URA 30 CER WID 24°34'18" STI 24°34'18" A	MAR 150 GaZ STI 26°59'08" SCH 26°59'08" A	NEP 72 CER FIS 13°21'02" STI 25°21'02" H* --	MER 144 APO STI 01°09'13" SCH 07°09'13" T -1	ORC 90 APO JUN 07°16'23" SCH 07°16'24" H* +11
08:31	10:39	14:17	09:29	12:13	09:26	02:46	04:21	16:22	05:55
MAR 144 JUP STI 23°40'58" WAA 17°40'58" T -4	SON 180 EL6 WID 23°41'25" WAA 23°41'24" H +6	MAR 72 NEP STI 25°14'45" FIS 13°14'44" A	MAR 144 JUP STI 23°40'58" WAA 17°40'58" T -4	SON 30 CHI WID 26°34'39" FIS 26°34'40" A	MER 150 FY9 STI 02°25'39" WAA 02°25'39" Hf +7	SON 90 VAR WID 28°19'34" KRE 28°19'35" A	PAL 120 APO WID 07°13'14" SCH 07°13'14" H* +5	SON 0 MER STI 00°20'38" STI 00°20'38" H +2	
09:29	11:41	19:30	15:57	13:12	12:25	05:14	05:00	18:17	08:14
MAR 150 EL6 STI 23°42'39" WAA 23°42'38" A	VEN 90 GaZ FIS 26°59'06" SCH 26°59'06" A	SON 90 VES WID 25°01'51" KRE 25°01'50" A	MAR 150 EL6 STI 23°42'39" WAA 23°42'38" A	CER 144 QUA STI 24°42'17" STE 00°42'18" A*	NEP 135 VAR FIS 13°19'26" WID 28°21'10" STE 00°42'18" H* (11/3,5) 0 / +10	SON 45 NEP WID 28°21'10" FIS 13°21'10" A	MER 120 QUA STI 00°40'59" STE 00°40'59" A	SON 120 KN1 STI 00°26'17" JUN 00°26'17" A W	
15:57	13:12	23:22	22:15	18:22	18:26	09:34	15:13	20:11	14:06
CER 30 ERI STI 23°10'51" WID 23°10'51" A*	JUP 144 CER WAA 17°31'50" STI 23°31'51" T* W* -5	MAR 0 SED STI 25°30'34" STI 25°30'34" A	SON 0 ERI WID 23°11'02" WID 23°11'01" H +6	VES 144 KN2 KRE 24°47'11" FIS 00°47'11" A*	MAR 60 CHI STI 26°35'03" FIS 26°35'04" T -4	MER 150 GSZ STI 02°18'14" WAA 02°18'13" A	CER 0 SED STI 25°33'09" STI 25°33'09" T* -10	PAL 150 ORC WID 07°16'36" JUN 07°16'36" A*	SON 120 QUA STI 00°40'36" STE 00°40'37" A
22:15	18:22	20:11	22:15	18:22	19:26	12:45	21:33	14:38	18:50
SON 0 ERI WID 23°11'02" WID 23°11'01" H +6	VES 144 KN2 KRE 24°47'11" FIS 00°47'11" A*	MAR 144 QUA STI 24°43'12" STE 00°43'12" A	SON 0 ERI WID 23°11'02" WID 23°11'01" H +6	MAR 144 QUA STI 24°43'12" STE 00°43'12" A	SON 120 GaZ WID 26°59'07" SCH 26°59'08" A	SON 120 SAT WID 27°41'27" SCH 27°41'26" A	VES 60 SED KRE 25°31'55" STI 25°31'55" H* +5	JUP 90 JUN WAA 17°01'10" STE 17°01'10" A*	MAR 144 EL6 STI 23°32'48" WAA 23°32'48" A
20:11	22:17	14:38	20:02	14:38	20:02	14:38	20:02	14:38	20:02
CER 150 EL6 STI 23°40'50" WAA 23°40'50" A*	MAR 144 QUA STI 24°43'12" STE 00°43'12" A	SON 120 GaZ WID 26°59'07" SCH 26°59'08" A	PAL 144 KN1 WID 06°34'15" JUN 00°34'15" A*	SON 120 SAT WID 27°41'27" SCH 27°41'26" A	SON 120 GaZ WID 26°59'07" SCH 26°59'08" A	SON 120 SAT WID 27°41'27" SCH 27°41'26" A	VES 60 SED KRE 25°31'55" STI 25°31'55" H* +5	JUP 90 JUN WAA 17°01'10" STE 17°01'10" A*	MAR 144 EL6 STI 23°32'48" WAA 23°32'48" A

April 2017



Prognose für SW-Deutschland

Im Index 3 korrigierte Prognose
 (Originalprognose vom 20.12.2014)

Den ganzen Monat ist Makemake 0° Supergalaktisches Zentrum aktiviert. Uranus 0° Eris bleibt bis zum 8. aktiviert und löst die unbekannteren Aspekte Orcus 135° Eris 7° und Eris 180° Haumea 7° aus. Den ganzen Monat bleibt auch die Konjunktion von Saturn mit dem Galaktischen Zentrum erhalten. Venus bleibt vom 6. bis 24. in 90° zu Saturn und damit zur Saturn-GaZ-Konjunktion! Ebenfalls sehr lang anhaltende Konjunktion von Venus mit Chiron vom 12. bis 22. April. 12. bis 17. sehr dichte Positionierung von Mars, Ceres und Sedna, und 12. bis 16. sehr dichte Positionierung von Sonne, Eris, Uranus. 25. bis 30. sehr dichte Positionierung von Merkur, Uranus und Eris. Am 24. wird die Konjunktion zwischen Makemake und dem Supergalaktischen Zentrum (7°) exakt, am 30. Eris 180° Haumea 7°.

Langsamläufer-Impulse	T*	2T*	H*	T*, ?*				2H*	?*, H*		
Schnellläufer-Impulse	H	2H, T, Hf	2T	Hf, H, T			H, T	H			
Temperaturimpulse	2W		K					2K			
Premeteo-Index -zyklonal, + antizyklonal (Index 1+2+3)	-3	-2	1	-1	-18	-5	5	1	14	16	
Pre.IX (ALTERNATIV)											
Index 1 (12 - 12 UTC) exakte Aspekte des Tages	2	-1	-5	11	-14		0	3	1	0	16
Index 1 (ALTERNATIV)											
Symmetrien (0 - 0 UTC)	Mak 60p Chi Pal (12) ? A* --- Cer 60 Chi Ves (19) A* W* T* A* --- Sat 149 Var Cer (21) A* H* A* +7	Jup 80p Ura Pal (01) H*(13/5/1) A* +7? GaZ 150 Ves Cer (08) T* T* T* -14 Mer 4 Son Ura (12) H A +7?	Mer 5 Son Eri (05) H H +7? Mer 30 Ven Cer (18) T K Hf A W ? Cer 61 Chi Var (21) A* W* A* ? ---	Sat 150 Ves Cer (00) T* H* T* ? Mar 134 Jup Jun (06) T A A* -7 Mer 30 Chi Cer (11) A Hf A* W* ---	Cer 60 Ven Ves (05) A W T* A* --- Ura 2 Eri Mer (10) ? A Auslösung Index 3	Mer 29 Chi Sed (07) A T ? --- Cer 60 Ven Var (16) A W A* H ---			Mer 14 Son Pal (11) H +14 Ura 14 Son Pal (01) H --- Son 16 Sed Mer (09) T --- Son 15 Ura Sed (17) A?(3/3) ---		
Index 2 (12 -12 UTC) Index 2 ALTERNATIV	0	-7	0	-7	0	0	0	0	14	0	
ausgelöste LL-Aspekte	Ven 90 Sat H +2 Cer 150 GaZ T-5 Ura 30 Sed A?(3/3) Nep 72 Sed I?*(0,5/2) +100 Qua 144 Sed H?(6,5/2) +110	Ven 90 Sat H +2 Son 150 Mak H +3 Son 150 GSZ H3 Cer 150 GaZ T-5 Ves 150 GaZ T-5	Ven 90 Sat H +2 Son 150 Mak H +3 Son 150 GSZ H3 Cer 150 GaZ T-5 Ves 150 GaZ T-5	Ven 90 Sat H +2 Mer 120 GSZ T-4 Cer 150 GaZ T-5 Nep 135 Var H*(11/3,5) +10 Nep 135 Var H*(11/3,5) +10	Ven 120 Var H2 Mar 120 GSZ T-4 Ves 150 GaZ T-5 Nep 135 Var H*(11/3,5) +10 Auslösung: Mer 90 Ves H +1	Ven 120 Var H2 Mer 120 GSZ T-4 Ves 150 GaZ T-5 Nep 135 Var H*(11/3,5) +10	Ven 120 Var H2 Ura 30 Sed A?(3/3) Nep 135 Var H*(11/3,5) +10	Ura 30 Sed A?(3/3) Nep 135 Var H*(11/3,5) +10	Ura 30 Sed A?(3/3) Nep 135 Var H*(11/3,5) +10		
Index 3 (Summe)	-5	6	6	-5	-4	-5	2	0	0	0	
Index 3 ALTERNATIV											
Symbol-Prognose	3	3	3	3	5	3	3	3	2	2	
Wochentag	Fr	Sa	So	Mo	Di	Mi	Do	Fr	Sa	So	
Datum	21	22	23	24	25	26	27	28	29	30	
reale Wetterlage				T4: T*, T - Hf, H - ?* / -24			H4: 3H*, 2H - T - ?* / +36				
Luftdruck (hpa) 06 UTC	1033,8	1026,9	1026,1	1020,6	1008,9	1011	1016,2	1015	1019,5	1014,4	
mittl. Temp.(°C)	7,8	7,8	7,2	10,4	8,4	6	6	7,9	10,3	13,6	
Sonnenscheindauer (h)	10,9	0	12,2	13	0,5	0	0,1	6,4	12,5	13	
Niederschlag (Liter)	0	0,2	0	0	11,9 / 14	9,2 / 10	0,1 / 1	0	0	0,7	
Bodenwetterlage 00 UTC (Kernlage des Druckgebiets, das SW-D beeinflusst)	H mit Kernen ü Irland u S-D	H ü SW-D, T ü Finn	H w Irland	H ü SO-D T ü Nsee	T ü S-Schweden	T ü SO-F, T ü Osee	H ü O-All, T ü GG	H ü O-All, T ü N-Ital	H ü CH	H ü NO-D T bei Irland	
Bodenströmung 12 UTC zyklonal (z), antizyklonal (a)	a	fl a	fl a	fl z	z	fl z	fl a	fl a	a-z	a-z	
Strömung auf 500 hpa 00 UTC	NO a-z	NW a-z	NW fl z	NW a-z	W fl z	SW z	SW z	N z	NW z	SW a-z	
zutreffende Wettersymbole	2 hr	5 r	2 hr	2 hr	5 r	5 hr	5 hr	3 r	2 r	2 r	

02:01	03:57	02:34	00:59	03:29	06:50	04:33	12:49	00:05
MER 30 MAR WID 29°45'13" STI 29°45'14" A	CHI 120 VES FIS 26°52'53" KRE 26°52'53" A*	MER 90 VAR WID 28°20'42" KRE 28°20'42" A	MER 30 CER WID 27°43'28" STI 27°43'28" Hf +7	MER 30 CHI WID 27°01'56" FIS 27°01'56" A	SON 120 ORC STI 07°12'16" JUN 07°12'15" H +3	CER 144 EL6 STI 29°24'17" WAA 23°24'16" A*	CER 90 KN1 STI 29°57'05" LÖW 29°57'05" A*	EL6 45 APO WAA 23°22'14" SCH 08°22'14" A*
08:00	05:01	08:23	05:04	05:19	12:31	06:53	13:43	01:32
SON 144 APO STI 01°24'17" SCH 07°24'17" A W	CER 150 GaZ STI 26°59'10" SCH 26°59'10" T* -5	MAR 135 JUP ZWI 01°19'16" WAA 16°19'16" T -4	VEN 120 VAR WID 28°21'01" KRE 28°21'01" H +2	MER 120 GaZ WID 26°59'11" SCH 26°59'11" A	VES 0 VAR KRE 28°22'09" SCH 28°22'09" A	SON 150 APO WID 10°41'13" SCH 08°10'45" A	PAL 45 SED WID 10°41'13" STI 25°41'14" H* +5	ERI 180 EL6 WID 23°22'10" WAA 23°22'10" A*
11:12	06:07	10:40	05:28	10:49	17:07	08:33	20:14	19:51
VEN 90 SAT FIS 27°36'23" SCH 27°36'22" H W +2	SON 150 GSZ STI 02°18'14" WAA 02°18'13" H +3	MER 30 VEN WID 28°07'04" FIS 28°07'04" T K ---	CHI 90 GaZ FIS 26°59'11" SCH 26°59'11" A*(6/5)	MAR 135 JUN ZWI 02°46'18" STE 17°46'19" A	MER 30 SED WID 25°39'48" STI 25°39'48" T -1	SON 144 FY9 STI 08°14'49" WAA 02°14'48" A	VEN 90 QUA WID 00°35'29" STE 00°35'29" A	JUP 135 CER WAA 15°28'42" ZWI 00°28'43" H* +5
12:39	07:02	14:37	08:16	14:36	19:01	09:56	23:39	20:29
CER 60 VES STI 26°42'43" KRE 26°42'43" T* -5	SON 150 FY9 STI 02°20'28" WAA 02°20'28" H +6	SAT 150 CER SCH 27°33'00" STI 27°33'00" H* ---	MER 120 SAT WID 27°31'45" SCH 27°31'45" A	CER 60 VAR STI 28°21'28" KRE 28°21'28" A*	MAR 135 PLU WID 04°23'06" STE 19°23'07" A	SON 144 GSZ STI 08°18'11" WAA 02°18'12" A	ERI 135 APO WID 23°22'07" SCH 08°22'07" H* (11/6) +11	SAT 90 CHI SCH 27°18'34" FIS 27°18'34" A*
22:01	09:31		09:44			10:00		
CHI 60 CER FIS 26°52'07" STI 26°52'08" A* W*	MAR 150 QUA ZWI 00°39'44" STE 00°39'45" Hf +10		MER 90 VES WID 27°29'25" KRE 27°29'24" H +2					
22:47	13:20		12:40			12:24		
MAR 90 KN1 ZWI 00°21'11" JUN 00°21'11" A	VES 150 GaZ KRE 26°59'10" SCH 26°59'10" T* -10		SAT 150 VES KRE 27°31'26" KRE 27°31'26" T* -10			VEN 72 JUN FIS 29°59'04" STE 17°59'04" A		
	21:38		15:42			13:25		
	MER 45 NEP WID 28°29'06" FIS 13°29'05" T -1		FY9 0 GSZ WAA 02°18'12" WAA 02°18'12" T*			VEN 150 KN1 WID 00°00'11" JUN 00°00'11" H K +2		
			18:28			14:51		
			MAR 120 FY9 ZWI 02°18'06" WAA 02°18'06" A			MER 0 URA WID 25°16'45" WID 25°16'44" A K		
			18:31					
			MAR 120 GSZ ZWI 02°18'12" WAA 02°18'12" T -4					

April 2017: Fehlprognosen

Datum	Vorzeichen Symbol	Analyse
6.	-16 2 hr	Hoch Ortrud bei Irland. Der Premeteo-Index hatte an diesem Tag einen einzelnen negativen Wert von -16, der hauptsächlich durch die Symmetrie Quaoar 72° Jupiter Neptun T* T?* vom Vortag 17 UTC bedingt war. Am 5. zeigte sich interessanterweise auf 500 hpa eine konzentrierte Tiefdruckzelle über dem Südwestdeutschen Raum, die sich zum 6. hin aber schon wieder aufgelöst hatte.
10.	+2 2-3 hr	Tief Marcel über dem Nordmeer reichte flach bis in unsere Region. Flacher Index.
19.	-13 5 r	Hoch Querida über Nordsee. Einzelner negativer Tag, auf 500 hpa zyklonal. Der negative Index war hauptsächlich durch die exakte Konjunktion Ceres 0° Sedna T* verursacht.
21.	-5 2 hr	Hoch Querida mit Kernen über Irland und Süddeutschland. Flacher Index. Stabile, kalte Luftmasse.
22.	-10 5 r	Hoch Querida über Nord- und Ostatlantik, flacher Kern über Schweiz. Aufzug dichter Bewölkung und leichter Druckfall.
23.	-7 2 hr	Hoch Querida westlich Irland. Flacher Index. Stabile, kalte Luftmasse.
24.	+4 2 hr	Kleines Hoch über Südostdeutschland, Tief Reiner über Nordsee. Flacher Index, einzelner positiver Tag. Die zyklonale Strömung setzt sich im Laufe des Vormittags schwach durch.
26.	+3 5 hr	Wellentief über Südostfrankreich und Tief Reiner über Ostsee. Flacher Index.

April 2017: Fehlprognosen (im Index 3 korrigierte Prognose)

Datum	Vorzeichen Symbol	Analyse
3.	-5 2-5 r	Hoch Nessa über Nordwestfrankreich. Flacher Index. Originalprognose korrekt.
6.	-16 2 hr	Hoch Ortrud bei Irland. Der Premeteo-Index hatte an diesem Tag einen einzelnen negativen Wert von -16, der hauptsächlich durch die Symmetrie Quaoar 72° Jupiter Neptun T* T?* vom Vortag 17 UTC bedingt war. Am 5. zeigte sich interessanterweise auf 500 hpa eine konzentrierte Tiefdruckzelle über dem Südwestdeutschen Raum, die sich zum 6. hin aber schon wieder aufgelöst hatte.
19.	-11	Hoch Querida über Nordsee. Einzelner negativer Tag, auf 500 hpa zyklonal. Der negative Index war hauptsächlich durch die exakte Konjunktion Ceres 0° Sedna T* verursacht.
21.	-3 2 hr	Hoch Querida mit Kernen über Irland und Süddeutschland. Flacher Index. Stabile, kalte Luftmasse.
22.	-2 5 r	Hoch Querida über Nord- und Ostatlantik, flacher Kern über Schweiz. Aufzug dichter Bewölkung und leichter Druckfall.